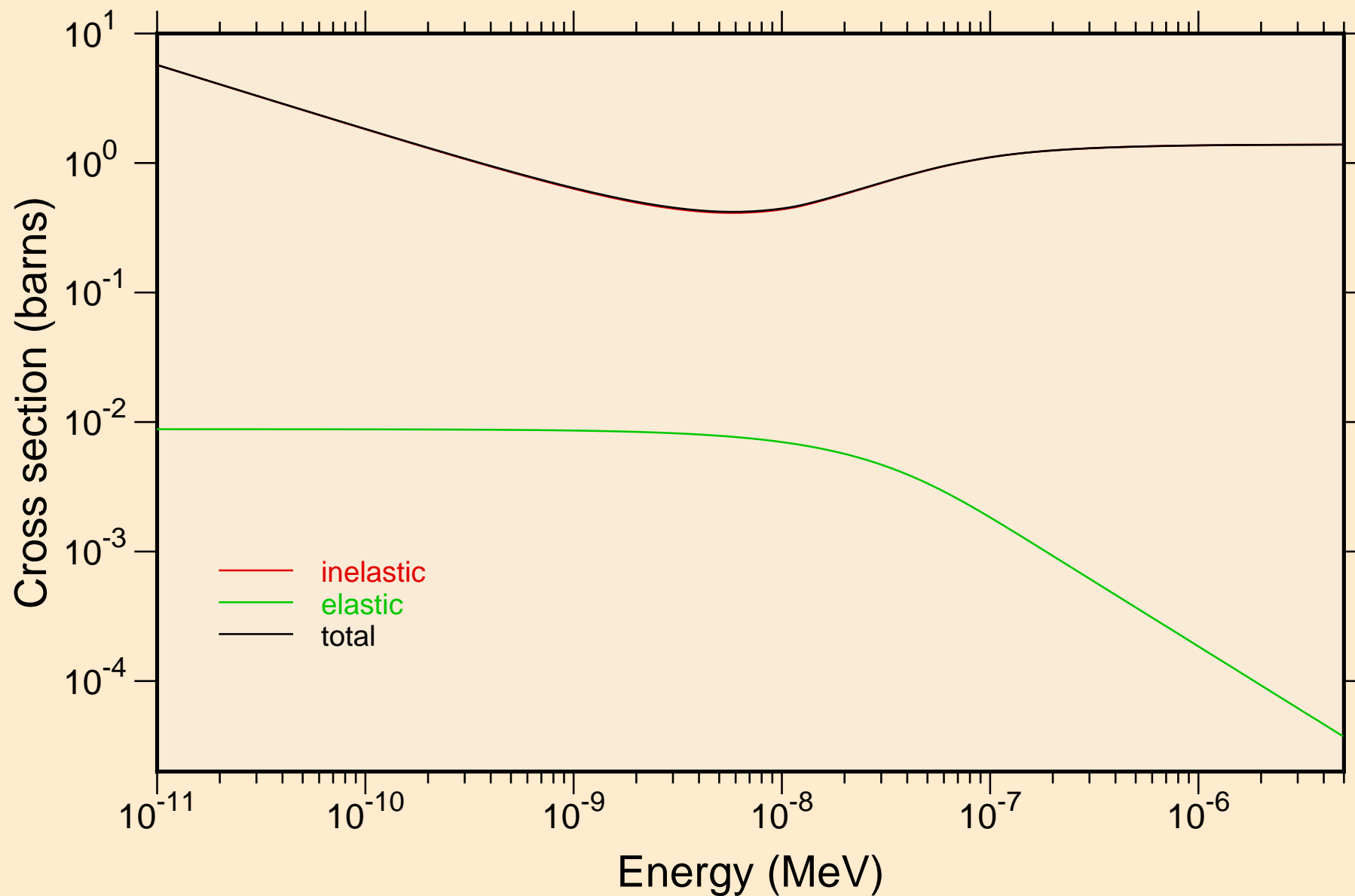
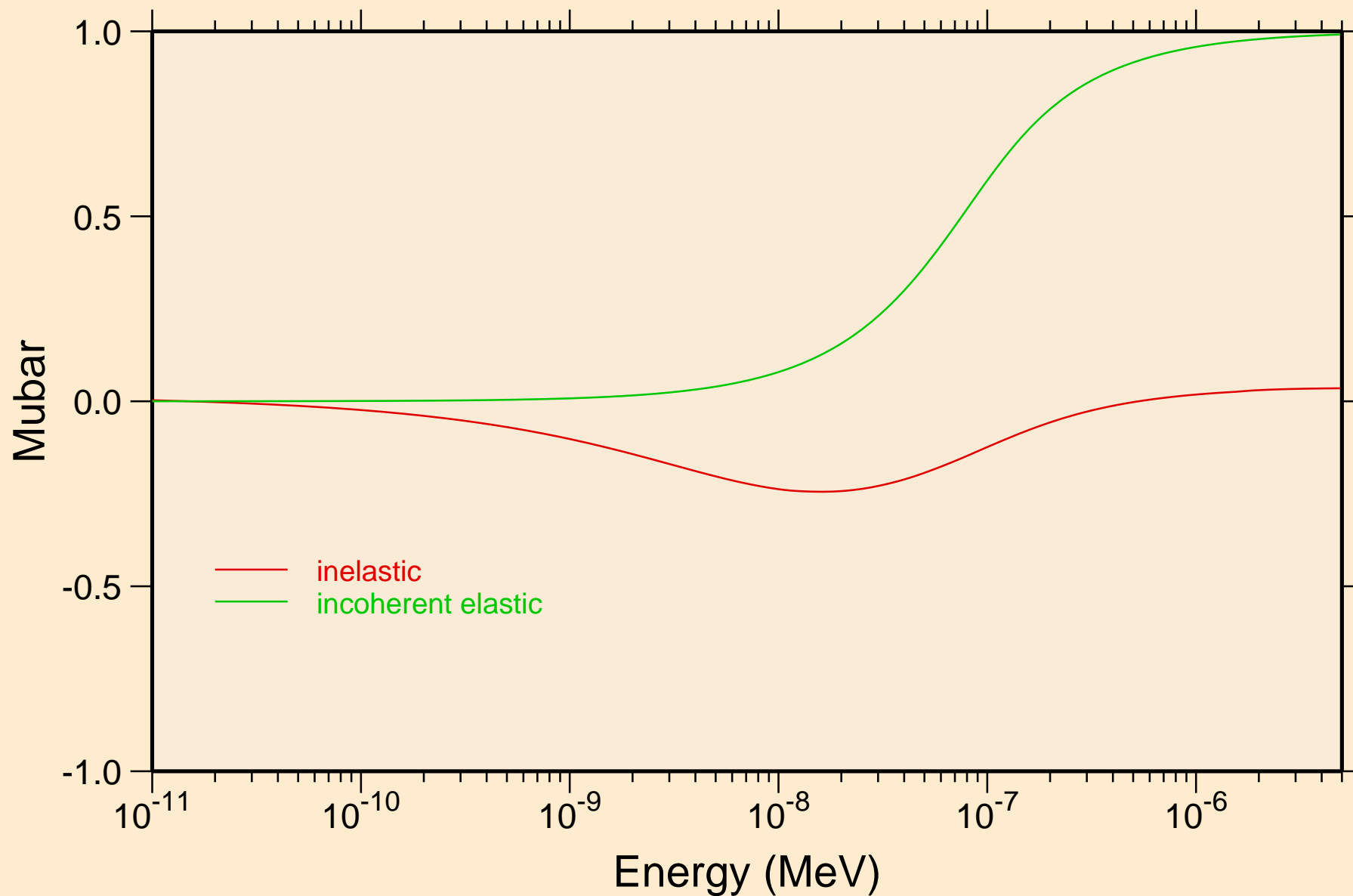


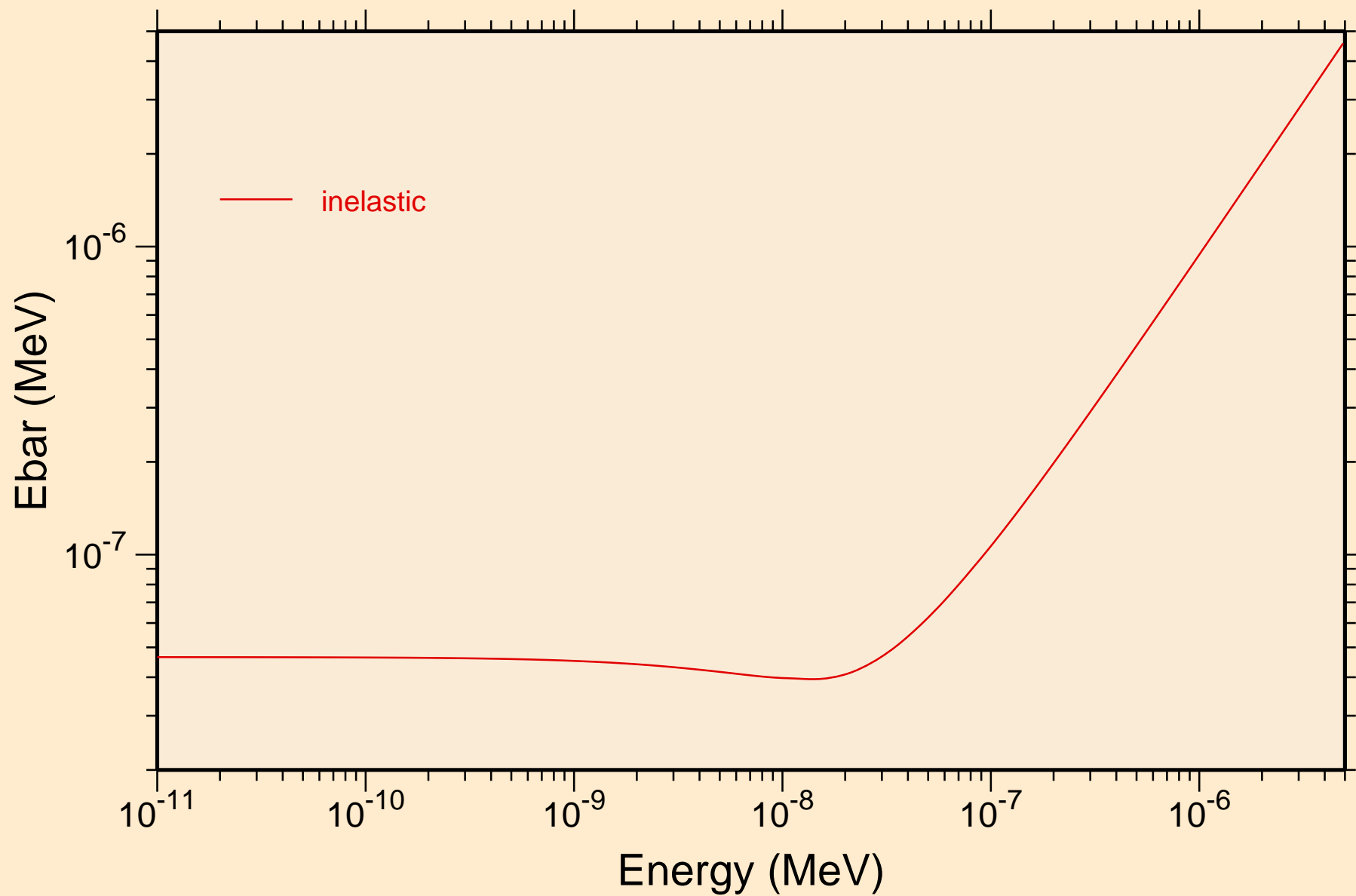
AL-NA4SI3AL3O12CL\_SG218\_SODALITE @ 1000.00K  
Thermal cross sections



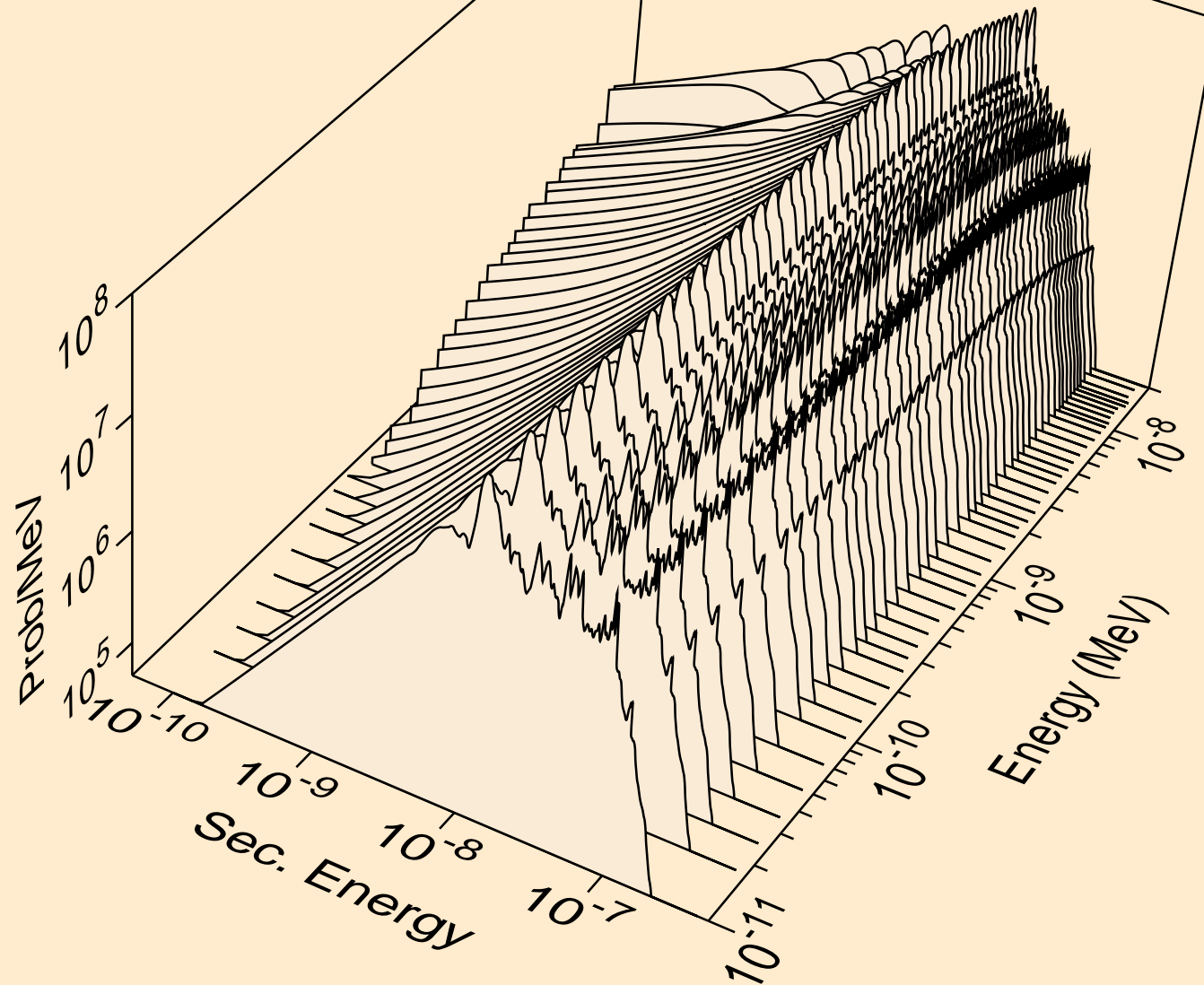
AL-NA<sub>4</sub>SI<sub>3</sub>AL<sub>3</sub>O<sub>12</sub>CL\_SG218\_SODALITE @ 1000.00K  
Thermal mubar



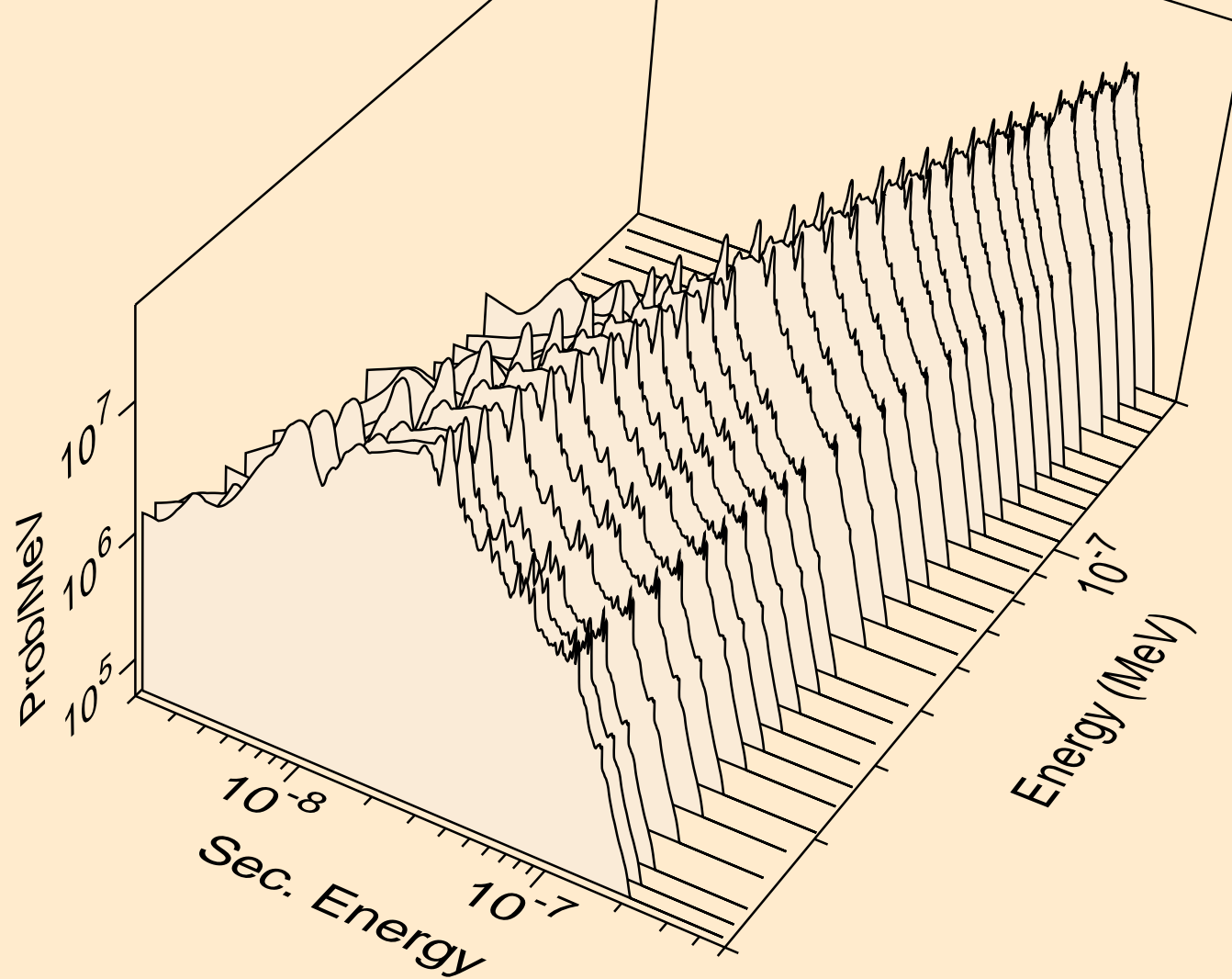
AL-NA<sub>4</sub>SI<sub>3</sub>AL<sub>3</sub>O<sub>12</sub>CL\_SG218\_SODALITE @ 1000.00K  
Thermal ebar



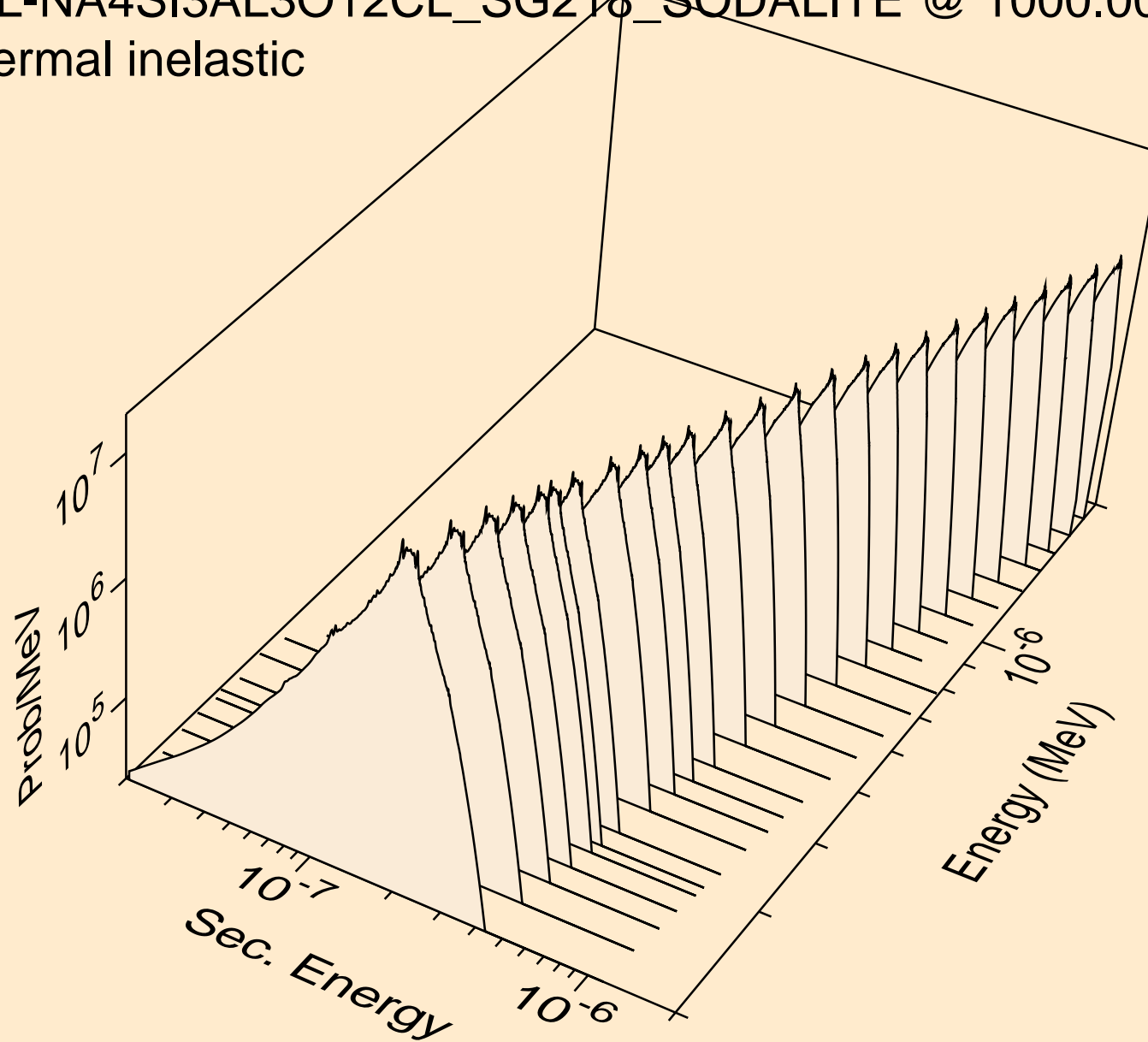
AL-NA<sub>4</sub>SI<sub>3</sub>AL<sub>3</sub>O<sub>12</sub>CL\_SG218\_SODALITE @ 1000.00K  
thermal inelastic



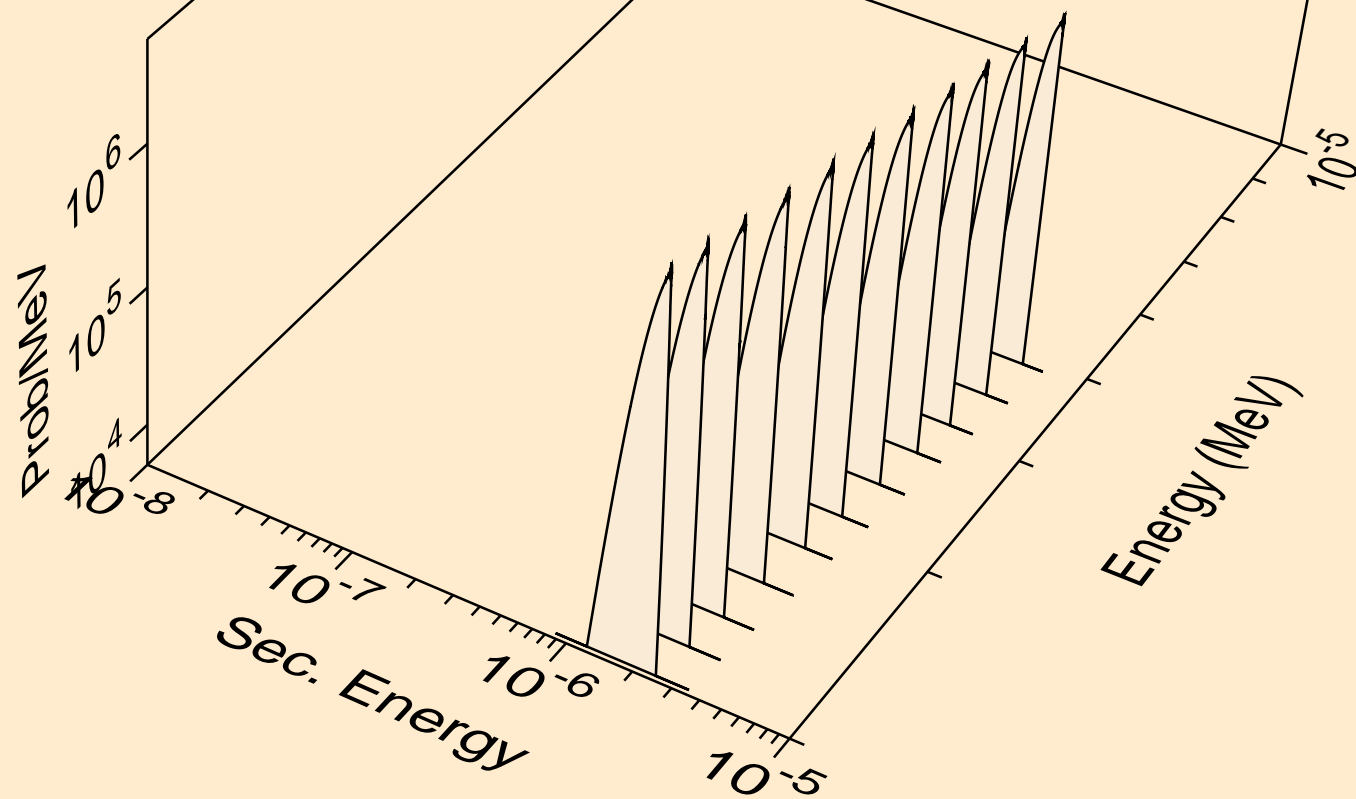
AL-NA<sub>4</sub>SI<sub>3</sub>AL<sub>3</sub>O<sub>12</sub>CL\_SG218\_SODALITE @ 1000.00K  
thermal inelastic



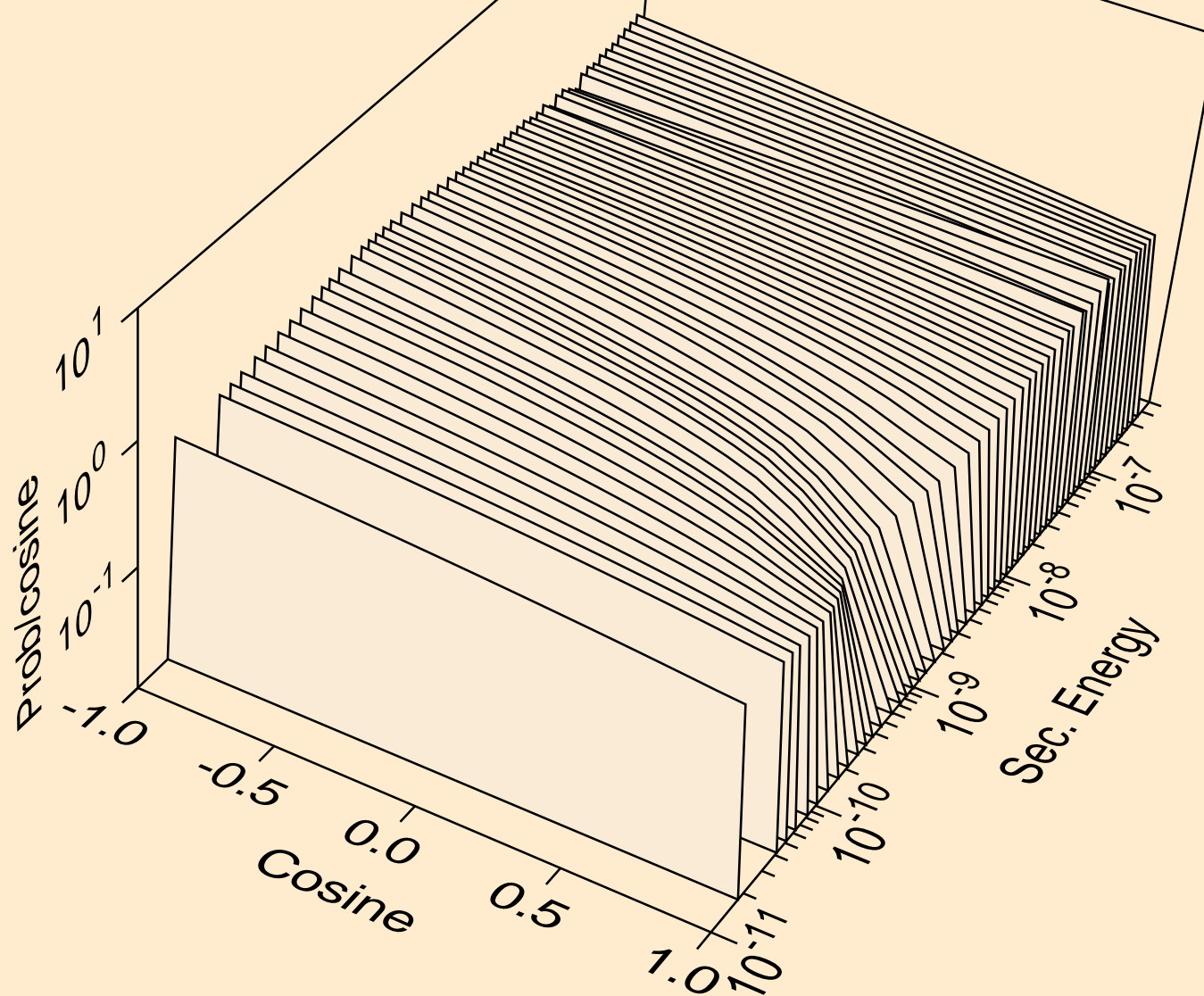
AL-NA<sub>4</sub>SI<sub>3</sub>AL<sub>3</sub>O<sub>12</sub>CL\_SG218\_SODALITE @ 1000.00K  
thermal inelastic



AL-NA<sub>4</sub>SI<sub>3</sub>AL<sub>3</sub>O<sub>12</sub>CL\_SG218\_SODALITE @ 1000.00K  
thermal inelastic

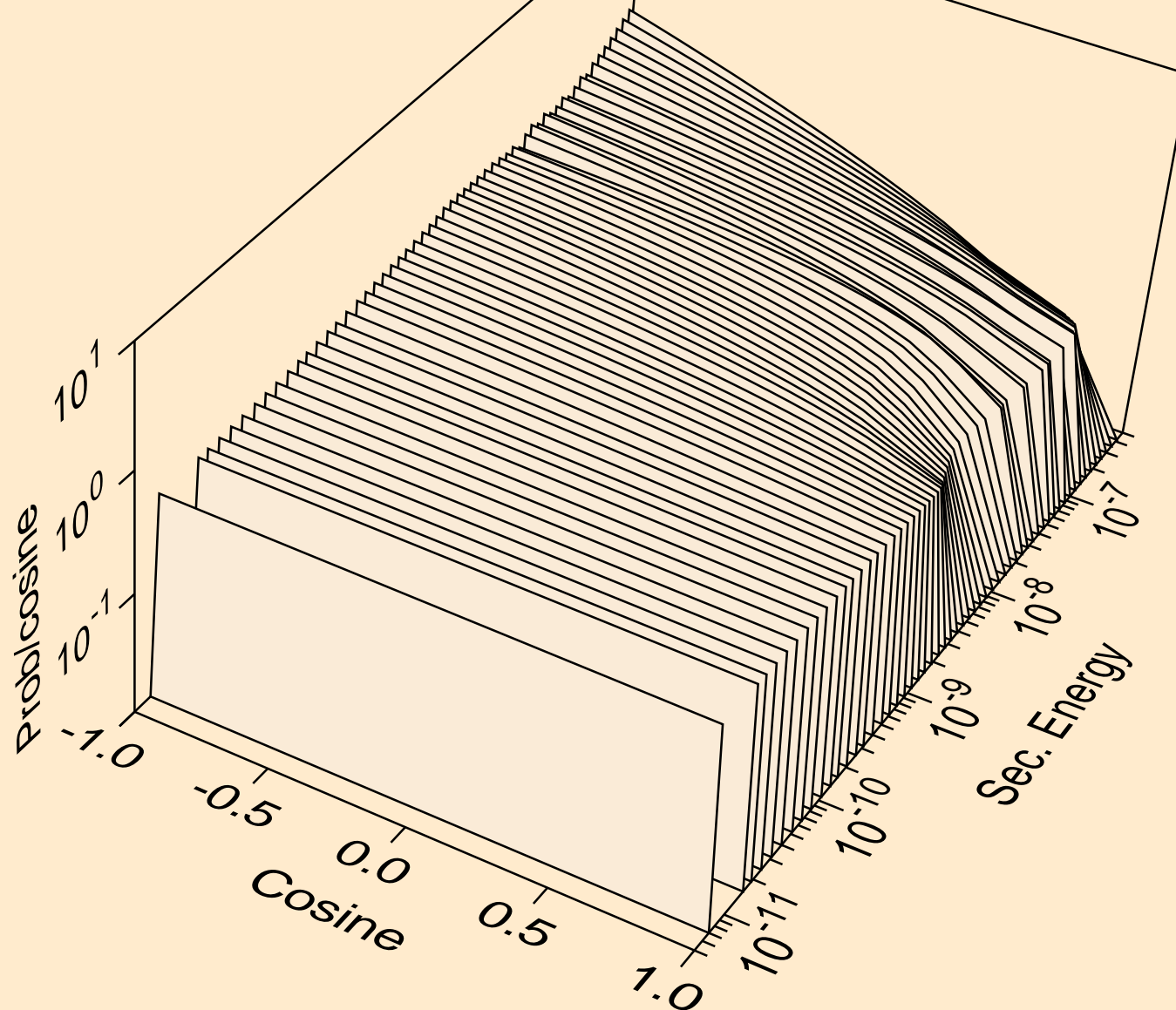


AL-NA<sub>4</sub>SI<sub>3</sub>AL<sub>3</sub>O<sub>12</sub>CL\_SG218\_SODALITE @ 1000.00K  
thermal inelastic for e= 1.012E-09 MeV

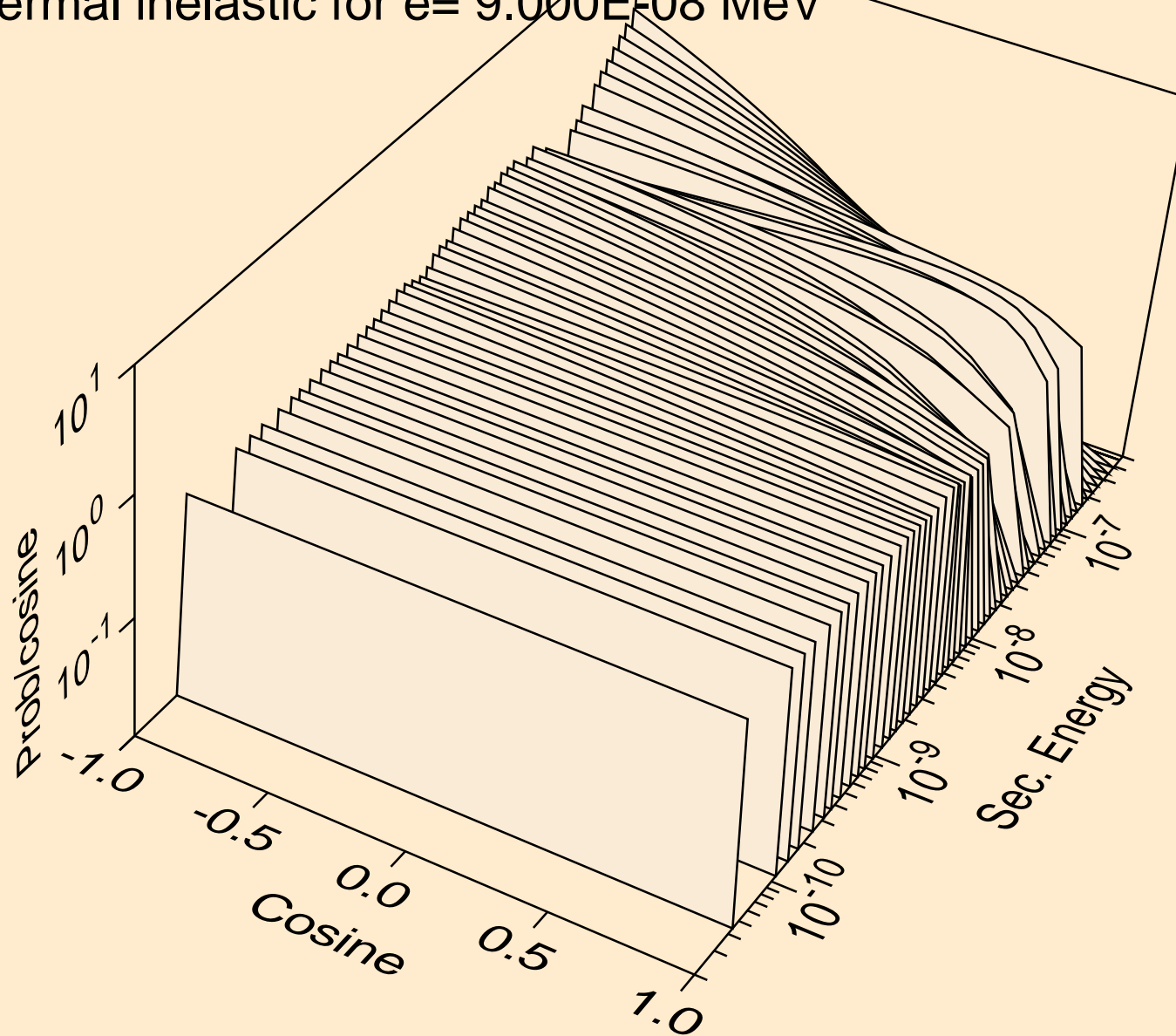




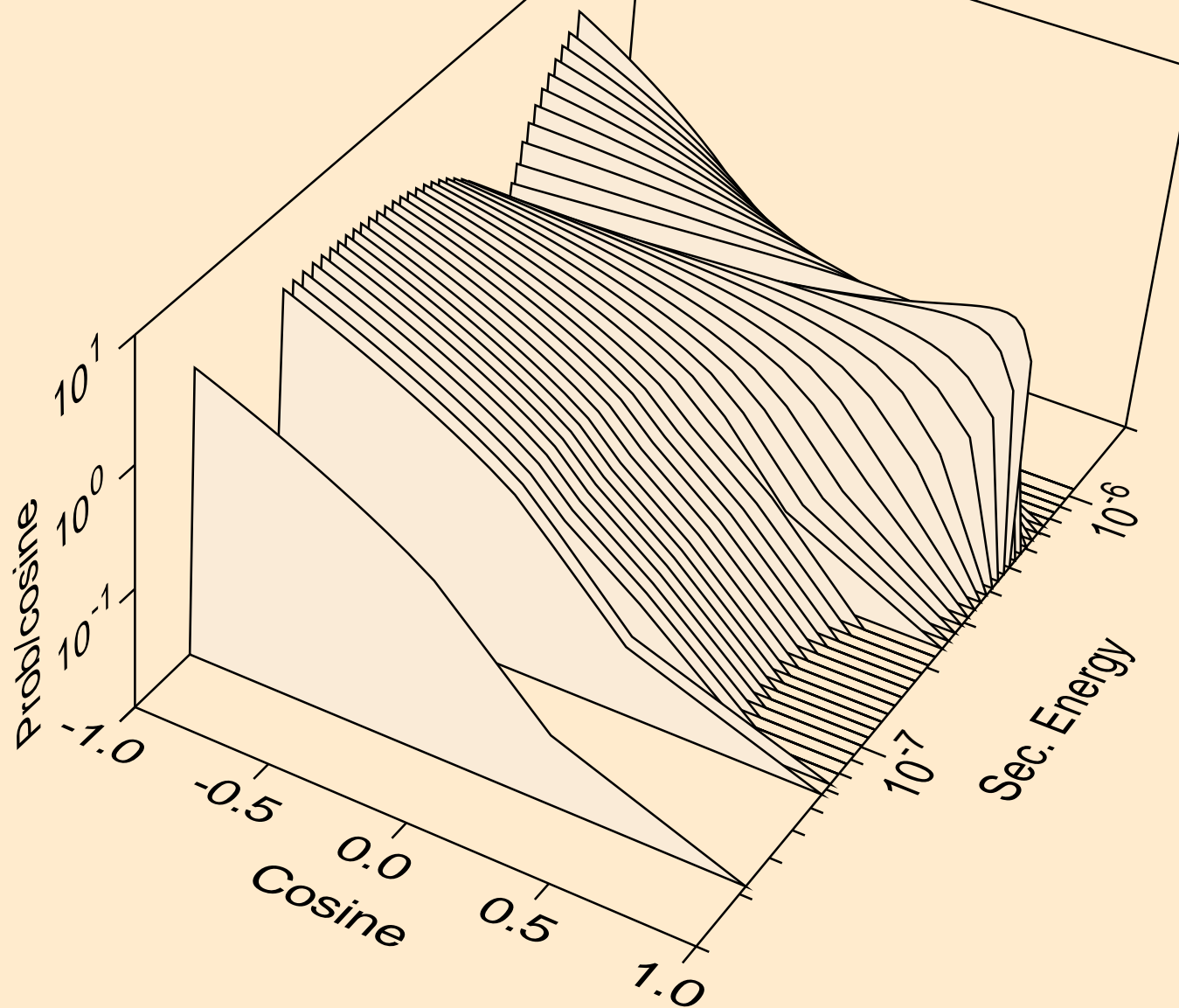
AL-NA<sub>4</sub>SI<sub>3</sub>AL<sub>3</sub>O<sub>12</sub>CL\_SG218\_SODALITE @ 1000.00K  
thermal inelastic for  $e = 1.417\text{E-}08$  MeV



AL-NA4SI3AL3O12CL\_SG218\_SODALITE @ 1000.00K  
thermal inelastic for  $e = 9.000\text{E-}08$  MeV



AL-NA<sub>4</sub>SI<sub>3</sub>AL<sub>3</sub>O<sub>12</sub>CL\_SG218\_SODALITE @ 1000.00K  
thermal inelastic for  $e = 5.033\text{E-}07$  MeV



AL-NA<sub>4</sub>SI<sub>3</sub>AL<sub>3</sub>O<sub>12</sub>CL\_SG218\_SODALITE @ 1000.00K  
thermal inelastic for e= 4.070E-06 MeV

